

واکنش آناتومی برگ درخت زبان‌گنجشک (*Fraxinus rotundifolia* Mill.) در مقابل گازهای آلاینده و عوامل اقلیمی

فرحناز رشیدی^{*}، عادل جلیلی^۲، ساسان بابایی کفایی^۳ و خسرو ثاقب‌طالبی^۴

^۱دانشجوی دکتری دانشگاه آزاد اسلامی، واحد علوم و تحقیقات، گروه جنگلداری

^۲استاد پژوهش، بخش تحقیقات گیاه‌شناسی، مؤسسه تحقیقات جنگلها و مراتع کشور

^۳استادیار دانشگاه آزاد اسلامی، واحد علوم و تحقیقات، گروه جنگلداری

^۴دانشیار پژوهش، بخش تحقیقات جنگل، مؤسسه تحقیقات جنگلها و مراتع کشور

(تاریخ دریافت: ۲۷/۱۰/۸۹، تاریخ پذیرش: ۲۶/۱۱/۸۹)

چکیده

یکی از عوامل تهدیدکننده پوشش گیاهی در مناطق شهری، آلودگی هوا و گازهای آلاینده است که با غلظت‌های مختلف در فضای شهرها پراکنده‌اند و به همراه عوامل اقلیمی و انسانی آثار مخربی را بر روی پوشش گیاهی ایجاد می‌کنند. در مقابل، پوشش گیاهی نیز با توجه به کارکردهای زیست‌محیطی تأثیر زیادی در کاهش اثر گازهای آلاینده دارد. این تحقیق با هدف بررسی اثر گازهای آلاینده شهری شامل NO_2 , SO_2 , O_3 و اقلیم (دما و بارندگی) بر واکنش‌های آناتومی گیاه زبان‌گنجشک در شهر تهران انجام گرفت. به منظور این بررسی خصوصیات آناتومی مانند ضخامت، مزووفیل و آوند پهنه‌ک، ضخامت و تعداد سلول‌های نردبانی و اسفنجی، ضخامت کوتیکول، ضخامت اپیدرم، ضخامت و تعداد کلانشیم و پارانشیم رگبرگ اصلی برگ گیاه در مقابل گازهای آلاینده و عوامل اقلیمی با استفاده از آنالیز همبستگی بررسی شد. نتایج حاکی از آنست که با افزایش آلودگی ضخامت پهنه‌ک، ضخامت مزووفیل پهنه‌ک و ضخامت پارانشیم نردبانی پهنه‌ک افزایش یافته و شاخص نسبت پارانشیم نردبانی به پارانشیم اسفنجی (Rp/RS) در مقابل افزایش دما، افزایش پیدا کرده است.

واژه‌های کلیدی: آلودگی، اقلیم، آناتومی، زبان‌گنجشک، پوشش گیاهی.

این پژوهش با هدف تعیین شدت و نوع خسارت آلودگی آلاینده‌های دی‌اکسید گوگرد، دی‌اکسید نیتروژن و ازن بر گیاهان (گونه زبان‌گنجشک) از نظر صفات آناتومی اجرا شد. با توجه به اینکه منطقه مطالعاتی، دارای تفاوت ارتفاعی (۱۷۰۰-۱۰۰۰ متر) بوده و از طرفی این اختلاف ارتفاع سبب ایجاد تفاوت‌های اقلیمی (درجه حرارت، تعداد روزهای یخبندان و بارندگی) بین این نقاط شده است، در این تحقیق در کنار بررسی اثر آلودگی هوا، تأثیرات تفاوت‌های اقلیمی نیز بررسی شد. گونه مورد بررسی *Fraxinus rotundifolia* Mill. از تیره زیتون *Oleaceae* است (مظفریان، ۱۳۸۳). این گونه پراکنش گسترده‌ای در پارک‌های شهر تهران دارد و با توجه به همین پراکنش، تفاوت‌های رفتار رویشی به ویژه مشخصات آناتومی برگ گیاه زبان‌گنجشک را در واکنش به آلودگی و تفاوت اقلیمی نشان می‌دهد.

مواد و روش‌ها

- منطقه مورد بررسی

منطقه مطالعاتی شهر تهران واقع در ۵۱ درجه و ۱۷ دقیقه تا ۵۱ درجه و ۳۳ دقیقه طول شرقی و ۳۵ درجه و ۳۶ دقیقه عرض شمالی قرار دارد. هفت منطقه مطالعاتی بر اساس اطلاعات ارتفاعی (جدول ۱)، هواشناسی و ایستگاه‌های سنجش آلودگی هوا به‌منظور پوشش سطوح مختلف آلودگی شهر تهران انتخاب شد (شکل ۱). در هر منطقه، مناسب‌ترین پارک که در فاصله حداقل ۱ کیلومتری از ایستگاه‌های سنجش آلودگی هوا قرار داشت، طوری انتخاب شد که تعداد کافی پایه مناسب بر اساس صفاتی مانند سن برابر، سلامت، تاج متقارن و بدون آفت داشته باشد.

مقدمه و هدف

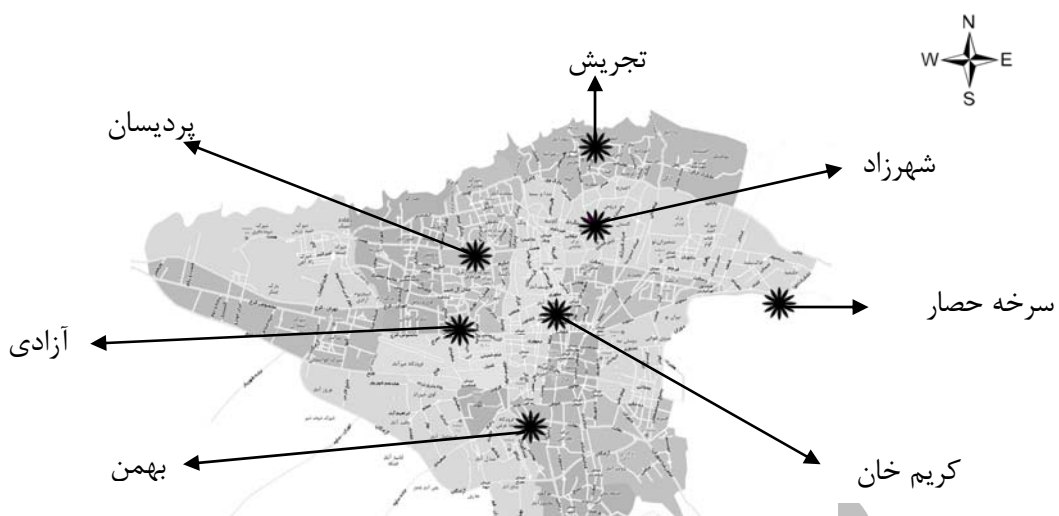
آلودگی هوا معمولاً یکی از مشکلات اساسی در کلان شهرها بوده و کیفیت هوای شهر تحت تاثیر خروج گازهای آلاینده از منابع متحرک و ثابت است که باعث تاثیر منفی بر روی سلامت انسان، حیوانات و گیاهان می‌شود. این آثار منفی خود را با اشکال مختلف تغییرات آناتومی، مورفو‌لوزی و فیزیولوزی در گیاه نشان می‌دهد. پژوهشگران زیادی درباره آناتومی برگ گیاهان تحقیق کرده‌اند که برای نمونه می‌توان Mudd & Kozlowski (1975), Zobel & Nighswander (1991), Silva *et al.* (2005), Alves *et al.* (2008) کرد.

محققان زیادی نیز تأثیر گازهای آلاینده دی‌اکسید نیتروژن، دی‌اکسید گوگرد و ازن را بر روی گیاهان بررسی کرده‌اند که Winner *et al.* (۱۳۸۶) و (۱۹۸۹)، Tripathi *et al.* (۱۹۹۹)، Bolea & Chira (2001)، Kardel *et al.* (۲۰۱۰) از آن جمله‌اند. مطالعات نشان می‌دهد آنست که گیاهان در مقایسه با انسان‌ها نسبت به ازن حساس‌ترند (Anon, 1996) و یکی از واکنش‌های گیاه به آلودگی ازن به صورت کاهش فتوسنتز نمود پیدا می‌کند (Heath, 1980; Reich, 1987; Dann & Pell, 1989).

در محیط‌های شهری دی‌اکسید نیتروژن (NO_2) از مهم‌ترین آلودگی‌های سمی برای گیاهان به‌شمار می‌آید. NO رهاسده در فضاهای شهری نیز در حضور ازن اکسید شده و به NO_2 تبدیل می‌شود (Honour *et al.*, 2009). از طرفی دی‌اکسید گوگرد بیشترین تأثیر را در کاهش رشد گیاه دارد (Winner *et al.*, 1985 Treshow & Anderson, 1989; Heber Savu & Bolea (1977) *et al.*, 1995 که SO_2 سازوکار باز بودن روزنه‌ها را کنترل و آنها را مسدود می‌کند و سبب کاهش فعالیت‌های فتوسنتزی می‌شود.

جدول ۱- ارتفاع مناطق مطالعاتی در شهر تهران

نام منطقه	تجربیش	شهرزاد	آزادی	بهمن	پردیسان	کریم‌خان	سرخه‌حصار
ارتفاع از سطح دریا (متر)	۱۶۱۵	۱۴۰۸	۱۱۸۰	۱۳۸۲	۱۱۰۳	۱۲۳۸	۱۴۴۴



شکل ۱- نقشه مناطق مطالعاتی در شهر تهران

اطلاعات آلودگی هوا از اطلاعات ایستگاه‌های پایش آلودگی هوا (مربوط به دامنه زمانی ۲۰۰۲-۲۰۰۸) تهیه شد که شامل اطلاعات ساعتی مرбوط به گازهای آلاینده دی‌اکسید نیتروژن (NO_2), دی‌اکسید گوگرد (SO_2) و ازن (O_3) است (جدول ۲). شایان ذکر است که در آنالیزهای آماری از میانگین هفت ساله آلودگی هوا (۲۰۰۲-۲۰۰۸) و میانگین سال ۲۰۰۸ به عنوان آخرین سال در دسترس استفاده شد.

-روش جمع‌آوری اطلاعات

اطلاعات هواشناسی از نزدیک‌ترین ایستگاه‌های هواشناسی از پنج منطقه (مهرآباد، شمال تهران، دوشان‌تپه، ژئوفیزیک و امین‌آباد) تهیه شد. شاخص‌های هواشناسی مورد بررسی عبارت بودند از میانگین کمترین دما، میانگین بیشترین دما، میانگین متوسط دما، میانگین روزهای یخ‌بندان، میانگین حداقل مطلق دما، میانگین حداکثر مطلق دما و میانگین بارندگی سالانه.

جدول ۲- داده‌های آلودگی هوا در مناطق مطالعاتی (۱=۲۰۰۸ و ۲=۲۰۰۲)

مناطق مطالعاتی	میانگین NO_2 (ppm)	میانگین SO_2 (ppm)	میانگین O_3 (ppm)	Max O_3 (ppm)
تجريش	۰/۰۴	۰/۰۲	۰/۰۵	-
شهرزاد	۰/۰۴	۰/۰۵	۰/۰۲	۰/۱۰
آزادی	۰/۰۶	۰/۱۳	۰/۰۱	۰/۰۹
بهمن	۰/۰۹	۰/۰۲	-	-
پرديسان	۰/۰۸	۰/۰۴	۰/۰۱	۰/۲۰
كريم خان	۰/۰۲	۰/۰۴	۰/۰۱	۰/۰۷
سرخه حصار	-	۰/۰۱	۰/۰۲	۰/۱۲

پنج پایه به صورت تصادفی از میان درختان با صفات حتی الامکان همسن، سالم، دارای تاج متقارن و بدون آفت در مناطق مطالعاتی انتخاب شد و نمونه‌برداری از برگ درختان در تابستان ۱۳۸۷ انجام گرفت. به منظور انجام مطالعات آناتومی ۱۰ برگ مرکب با بزرگ‌ترین سطح برگ

خصوصیات فیزیکی و شیمیایی خاک با حفر سه پروفیل در هر منطقه مطالعاتی بررسی شد. شاخص‌های اندازه‌گیری شامل بافت خاک، هدایت الکتریکی، درصد آهک، درصد مواد آلی و مقدار پتاسیم، فسفر و نیتروژن است.

- عوامل آلودگی

ضخامت پهنهک، مزو菲尔 پهنهک و ضخامت لایه نرdbانی با میانگین دی اکسید نیتروژن، همبستگی مثبت دارند و نسبت مزو菲尔 پهنهک به آوند بدون اتصال با میانگین دی اکسید گوگرد رابطه منفی دارد. ضخامت نرdbانی با میانگین دی اکسید گوگرد (سال ۲۰۰۸) رابطه مثبت دارد ($p < 0.05$). در نتیجه ضخامت پهنهک، مزو菲尔 پهنهک، ضخامت لایه پارانشیم نرdbانی با افزایش آلودگی، افزایش و نسبت مزو菲尔 پهنهک به آوند بدون اتصال پهنهک با افزایش آلودگی، کاهش نشان می دهد. تعداد کلانشیم تحتانی و آوند رگبرگ میانی با میانگین دی اکسید گوگرد (میانگین سال ۲۰۰۸) رابطه مثبت دارد. پس با افزایش آلودگی در مناطق مطالعاتی، بر تعداد لایه کلانشیم تحتانی و ضخامت رگبرگ میانی برگ درختان افزوده خواهد شد.

- عوامل اقلیمی

نسبت مزو菲尔 نرdbانی به اسفنجی با عوامل اقلیمی میانگین بیشترین دما و حداکثر مطلق دما رابطه مثبت دارد. اپیدرم فوقانی نیز با میانگین بیشترین دما، میانگین متوسط دما و میانگین حداقل مطلق دما، رابطه مثبت و با میانگین بارندگی، رابطه منفی دارد. نسبت مزو菲尔 نرdbانی به اسفنجی و ضخامت اپیدرم فوقانی با گرم شدن منطقه افزایش می یابد و از ضخامت اپیدرم پهنهک با افزایش بارندگی، کاسته می شود ($P < 0.01$, $t= -0.92$). ضخامت رگبرگ میانی و مزو菲尔 رگبرگ میانی با میانگین بیشترین دما، میانگین حداکثر مطلق دما و حداکثر مطلق دما، رابطه مثبت و با میانگین بارندگی، رابطه منفی دارد. با گرم شدن منطقه ضخامت رگبرگ میانی، مزو菲尔 رگبرگ میانی افزایش و با افزایش بارندگی کاهش پیدا می کند. طول روزنۀ تحتانی با میانگین حداکثر مطلق دما ارتباط مثبت دارد، بدین مفهوم که در مناطق گرمتر طول روزنۀ تحتانی بلندتر است ($P < 0.05$, $t= 0.81$).

از سمت جنوب و وسط تاج هر پایه جمع آوری شد. سپس از میان برگ های مرکب، سه برگچه از هر پایه در هر منطقه مطالعاتی در مخلوط آب و الکل (۷۰ درصد الکل) قرار داده شد. از برگ های جمع آوری شده به منظور برگ عرضی به صورت دستی برای مطالعات آناتومی برگ (ضخامت پهنهک، مزو菲尔 پهنهک، آوند پهنهک، ضخامت کوتیکول، تعداد سلول های نرdbانی و اسفنجی، ضخامت کلانشیم و پارانشیم رگبرگ اصلی، ضخامت رگبرگ میانی، مزو菲尔 و آوند رگبرگ میانی) و تهیۀ اپیدرم به منظور اندازه گیری تعداد و طول روزنۀ های سطح فوقانی و تحتانی برگ استفاده شد (جدول ۳). شایان ذکر است که این تحقیق با استفاده از میکروسکوپ نوری Olympus مدل BH2-RFCA اجرا شد.

- آنالیز داده ها

اطلاعات جمع آوری شده در نرم افزار EXCEL وارد شد و با آنالیز آماری همبستگی بین خصوصیات آناتومی و عوامل محیطی (آلودگی، اقلیم و خاک) با استفاده از نرم افزار Minitab 14 انجام گرفت. شایان ذکر است که پارامتر های ادافيکی به منظور مشخص کردن شاخص های آناتومی که به طور انحصاری تحت تأثیر اقلیم و آلودگی هستند، بررسی شد.

نتایج

نتایج همبستگی شاخص های آناتومی برگ با عوامل آلودگی، اقلیم و خاک شناسی طبق جدول ۴ به دست آمد. بر اساس اطلاعات جدول، عوامل آناتومی پهنهک برگ (ضخامت پهنهک، مزو菲尔 پهنهک، نسبت مزو菲尔 پهنهک به آوند بدون اتصال پهنهک و ضخامت نرdbانی) و مشخصه های رگبرگ اصلی (تعداد کلانشیم تحتانی و ضخامت آوند رگبرگ میانی) فقط با عوامل آلودگی و مشخصه های نسبت مزو菲尔 نرdbانی به اسفنجی، اپیدرم فوقانی و طول روزنۀ تحتانی از پهنهک برگ و ضخامت رگبرگ میانی و مزو菲尔 آن (رگبرگ اصلی) نیز فقط با عوامل اقلیمی، ارتباط معنی دار نشان می دهند.

جدول ٣ - اطلاعات آناتومی برگ زبان گنجشک در مناطق مطالعاتی

ادامه جدول ۳- اطلاعات آناتومی برگ زبان‌گنجشک در مناطق مطالعاتی

مناطق مطاعاتی	طول روزنه سطح تحتانی (μ)	طول روزنه سطح فوکانی (μ)	برآکش روزنه سطح تحتانی (Nmm ²)	برآکش روزنه سطح فوکانی (Nmm ²)	تعداد دسته- جات آندزی	مزوفیل رگبرگ میانی آندزی رگبرگ میانی	مزوفیل آندز رگبرگ میانی با غلاف	تعداد کلانشیم تحتانی (μ)	ضخامت کلاژنیم	تعداد پارانشیم تحتانی	ضخامت پارانشیم تحتانی (μ)
تهریش	۲۱/۶۱	۲۴/۳۶	۳۶۱/۷۱	۱۲۹/۷۱	۱/۰۰	۱/۸۲	۴۵۴/۴۰	۲/۰۰	۳۶/۴۰	۵/۸۰	۸۲۴/۰۰
شهرزاد	۲۰/۳۰	۲۲/۸۵	۲۹۷/۳۳	۱۰۴/۵۱	۱/۰۰	۱/۸۵	۴۳۸/۷۴۰	۲/۶۰	۴۴/۰۰	۷/۸۰	۸۰۶/۴۰
آزادی	۲۱/۲۰	۲۳/۸۱	۳۷۲/۶۱	۱۲۶/۳۲	۱/۰۰	۱/۶۹	۵۵۰/۴۰	۵/۴۰	۴۴/۰۰	۶/۰۰	۹۰۲/۱۴۰
بهمن	۲۱/۹۹	۲۴/۰۷	۳۱۹/۰۴	۱۰۱/۰۱	۱/۰۰	۱/۹۱	۹۰۲/۴۰	۳/۰۰	۶۸/۸۰	۷/۰۰	۱۹۹/۲۰
پردیسان	۱۹/۸۵	۲۱/۱۱	۴۱۰/۲۶	۱۶۸/۵۹	۱/۰۰	۱/۷۳	۴۷۳/۶۰	۲/۴۰	۴۵۱/۶۰	۶/۲۰	۱۹۸/۸۰
کرهام خان	۱۹/۸۲	۲۲/۱۹	۴۱۹/۸۶	۱۶۳/۹۰	۱/۰۰	۱/۸۳	۴۴۸/۱۰۰	۲/۲۰	۴۴/۰۰	۷/۶۰	۱۷۹/۸۰
سرخهصار	۲۱/۶۹	۲۳/۸۷	۳۵۳/۴۹	۱۰۹/۷۷	۱/۰۰	۱/۸۹	۴۵۲/۱۰۰	۸۴۰/۰۰	۶۶۰/۱۷	۶/۱۱۷	۱۶۵/۳۳

جدول ۴- ضرایب همبستگی بین خصوصیات آناتومی برگ زبان‌گنجشک (*Fraxinus rotundifolia* Mill.) با عوامل اقلیمی و گازهای آلاینده (P<0.01، *P<0.05، **P<0.01) خالی بیانگر معنادار

۱۳۸

نیوتن ارتباطات است.		شاخص‌های آناتومی		عوامل محیطی		تعداد کلانشیم فورقانی		ضخامت رگبرگ میانی (mm)		ضخامت نریانی (mm)		ضخامت نریانی (mm)		ضخامت پنهانک (mm)		مول روزنه سطح فوکانی (Nm)		پراکنش روزنه سطح تختانی (Nm)	
میانگین بیشترین دما (°C)	میانگین بیشترین دما (°C)	میانگین متوسط دما (°C)	میانگین حداقل مطلق دما (°C)	میانگین حداقل مطلق دما (°C)	حداکثر مطلق دما (°C)	حداکثر مطلق دما (°C)	حداکثر مطلق دما (°C)	میانگین بارندگی سالانه (mm)	-	-	-	-	-	-	-	-	-	-	-
میانگین دیاکسید گوگرد (ppm)	حداکثر ازن (۰-۰۸) (ppm)	حداکثر ازن (۰-۰۸) (ppm)	حداکثر ازن (۰-۰۸) (ppm)	میانگین درصد سیلت	-	-	-	-	-	-	-	-	-	-	-				
میانگین دیاکسید گوگرد (ppm)	میانگین درصد سیلت	میانگین درصد سیلت	میانگین درصد سیلت	میانگین درصد سیلت	-	-	-	-	-	-	-	-	-	-	-				
میانگین درصد سیلت	میانگین درصد سیلت	میانگین درصد سیلت	میانگین درصد سیلت	میانگین درصد سیلت	-	-	-	-	-	-	-	-	-	-	-				

ادامه جدول ۴- ضرایب همبستگی بین خصوصیات آناتومی برگ زبان‌گنجشک (*Fraxinus rotundifolia* Mill.) با عوامل اقلیمی و گازهای آلاینده ($P < 0.01$, $**P < 0.05$, *) خانه‌های خالی بیانگر معنادار نبودن ارتباطات است.

ضخامت پارانشیم (μ)	ضخامت کلانشیم تحتانی (μ)	تعداد کلانشیم تحتانی	مزوفیل رگبرگ میانی با غلاف (μ)	آوند رگبرگ میانی آوند رگبرگ میانی با غلاف (Nmm^2)	شاخص‌های آناتومی		عوامل محیطی
					پراکنش روزنۀ سطح فوقانی	پراکنش بیشترین دما (°C)	
۰/۷۶*	۰/۷۸*	۰/۸۶*	۰/۸۳*	۰/۸۳*	۰/۸۳*	۰/۸۳*	میانگین حداکثر مطلق دما
-۰/۸۸**	-۰/۷۶*	-۰/۹۲**	-۰/۹۲**	-۰/۹۲**	-۰/۹۲**	-۰/۹۲**	حداکثر مطلق دما (°C)
-۰/۹۲**	-۰/۹۲*	-۰/۹۹**	-۰/۹۲*	-۰/۹۲*	-۰/۹۰*	-۰/۹۳*	میانگین بارندگی سالانه
-۰/۹۲**	-۰/۹۲*	-۰/۹۶*	-۰/۹۶*	-۰/۹۶*	-۰/۹۰*	-۰/۹۳*	درصد آهک
-۰/۹۲**	-۰/۹۲*	-۰/۹۹**	-۰/۹۲*	-۰/۹۲*	-۰/۹۰*	-۰/۹۳*	درصد کربن آلی
-۰/۹۲**	-۰/۹۲*	-۰/۹۶*	-۰/۹۶*	-۰/۹۶*	-۰/۹۰*	-۰/۹۳*	مواد آلی
-۰/۹۲**	-۰/۹۲*	-۰/۹۶*	-۰/۹۶*	-۰/۹۶*	-۰/۹۰*	-۰/۹۳*	درصد نیتروژن
-۰/۹۲**	-۰/۹۲*	-۰/۹۶*	-۰/۹۶*	-۰/۹۶*	-۰/۹۰*	-۰/۹۳*	پتانس (ppm)
-۰/۹۲**	-۰/۹۲*	-۰/۹۶*	-۰/۹۶*	-۰/۹۶*	-۰/۹۰*	-۰/۹۳*	فسفر (ppm)
-۰/۹۲**	-۰/۹۲*	-۰/۹۶*	-۰/۹۶*	-۰/۹۶*	-۰/۹۰*	-۰/۹۳*	درصد شن
-۰/۹۲**	-۰/۹۲*	-۰/۹۶*	-۰/۹۶*	-۰/۹۶*	-۰/۹۰*	-۰/۹۳*	درصد رس
-۰/۹۲**	-۰/۹۲*	-۰/۹۶*	-۰/۹۶*	-۰/۹۶*	-۰/۹۰*	-۰/۹۳*	درصد سیلت
-۰/۹۲**	-۰/۹۲*	-۰/۹۶*	-۰/۹۶*	-۰/۹۶*	-۰/۹۰*	-۰/۹۳*	بیشترین مقدار ازن (ppm)
-۰/۹۲**	-۰/۹۲*	-۰/۹۶*	-۰/۹۶*	-۰/۹۶*	-۰/۹۰*	-۰/۹۳*	میانگین ازن (ppm)
-۰/۹۲**	-۰/۹۲*	-۰/۹۶*	-۰/۹۶*	-۰/۹۶*	-۰/۹۰*	-۰/۹۳*	میانگین دی‌اکسید نیتروژن (ppm) (۲۰۰۸)
-۰/۹۲**	-۰/۹۲*	-۰/۹۶*	-۰/۹۶*	-۰/۹۶*	-۰/۹۰*	-۰/۹۳*	میانگین دی‌اکسید گوگرد (ppm) (۲۰۰۸)

به صورت معمول روزنه‌ها هستند، وارد گیاه می‌شوند. بعد از گذر از روزنه‌های اپیدرم تحتانی، گازهای سمی به مزوفیل Nikolaevski, 1963; Ilkun, 1971; Ilkun, 1978 اسفنجی برخورد می‌کنند (Nikolaevski, 1963; Ilkun, 1971; Ilkun, 1978). مزوفیل اسفنجی به دلیل اندازه بزرگتر سلول‌های اسفنجی در مقایسه با لایه‌های مزوفیل نرdbانی، مقاومت کمتری به تبادلات گازی دارد. در برگ-های ژنتوتیپ گیاه حساس به ازن، دارای مزوفیل اسفنجی با فضای بین سلولی بزرگ‌تر و مزوفیل نرdbانی کوتاه‌تر است که سبب مقاومت کمتر برگ به ورود ازن به لایه‌های مزوفیل نرdbانی می‌شود (Evans & Ting, 1974).

نتایج بررسی‌های Gratani *et al.* (2000) نشان از افزایش ضخامت برگ در مناطق آلوده دارد. مزوفیل ضخیم‌تر،

بحث

بر اساس نتایج این پژوهش، بین افزایش ضخامت پارانشیم نرdbانی و افزایش آلودگی هوا، رابطه مثبت و قوی وجود دارد و نتایج تحقیقات Iqbal (1985), Jahan & Iqbal (1992), Ferdinand *et al.* (2000), Dineva (2004), Reig-Arminana *et al.* (2004) مؤید این موضوع است. این محققان به مسطح شدن پارانشیم اسفنجی در مقابل افزایش بافت نرdbانی اشاره دارند. به نظر می‌رسد که تغییر در ساختار پهنهک برگ و افزایش ضخامت پارانشیم نرdbانی، پاسخ به آلودگی هوا باشد. ساختار پهنهک برگ مهم‌ترین قسمت در تعیین واکنش درخت به آلودگی هواست. هوای آلوده از میان بازشندگی‌های طبیعی که

که همبستگی مثبت با آلودگی دارند، مانند ضخامت مزوفیل، ضخامت برگ و پارانشیم نرdbانی با افزایش آلودگی، افزایش می‌یابند. از این‌رو تغییر در عملکرد گیاه مانند افزایش شدت فعالیت فتوسنتزی دور از انتظار نخواهد بود. از طرفی تحقیقات بیشتر بهمنظور اثبات نتایج این تحقیق در محیط آزمایشگاهی پیشنهاد می‌شود. بررسی شاخص‌های مشترک تحت تاثیر استرس‌های آلودگی و اقلیم حاکی از آن است که گیاه با افزایش طول پارانشیم نرdbانی، ارتباط مشابهی را در مقابل استرس‌های ذکر شده از خود نشان می‌دهد.

سپاسگزاری

بجا و شایسته است از دانشگاه آزاد اسلامی واحد علوم و تحقیقات به منظور پشتیبانی‌های مالی و از مسئولان مؤسسه تحقیقات جنگل‌ها و مراتع کشور بهدلیل مساعدت در اجرای این پژوهه تشکر کنیم. از همکاری بی‌شائبه خانم‌ها مهندس عظیمی، قاسمی، سلطانی و خزائی در انجام آزمایش‌های آناتومی، آقایان مهندس عباسی، خاکساریان و نظرزاده در انجام مطالعات خاکشناسی بی‌نهایت سپاسگزاریم و از جناب آقای مهندس درگهی برای همکاری خستگی ناپذیرشان در انجام این پژوهه کمال تشکر را داریم.

منابع

قربانی، مهلا، غلامرضا بخشی خانیکی و زینب باکند، ۱۳۸۶. بررسی اثر آلاینده‌های هوای شهر تهران بر وزن تر و خشک، غلظت پرولین، کربو هیدرات‌های محلول، تعداد روزنه، کرک و سلول‌های اپیدرمی در دو گیاه خرزه‌هه *Robinia pseudoacacia* و اقاچیا *Nerium oleander* L. L.، فصلنامه پژوهش و سازندگی در زراعت و باغبانی، ۱۳۸۶: ۲۸-۳۴.

مظفریان، ولی‌الله، ۱۳۸۳. درختان و درختچه‌های ایران، انتشارات فرهنگ معاصر. چاپ اول، تهران، ۹۹ ص.

Alves, E.S., M. Baêssso Moura & M. Domingos, 2008. Structural analysis of *Tillandsia usneoides* L. exposed to air pollutants in São Paulo City-Brazil, *Water Air and Soil Pollution*, 189 (1-4): 61-68.

Anonymous, 1996. Air Quality Criteria for Ozone and Related Photochemical Oxidants. Vol. 2.

توانایی بیشتری در سمزدایی دارد (Gerosa *et al.*, 2003) و از طرف دیگر برگ‌های ضخیم، پتانسیل فتوسنتزی زیادی دارند (Niinemets, 1999). که ممکن است بیانگر ارتباط مثبت بین ضخیم‌شدن برگ و آلودگی بهمنظور جبران کاهش فتوسنتز در اثر آلودگی باشد. ارتباط مثبت و همسوی ضخامت اپیدرم پهنک با مناطق گرم‌تر و بارندگی کمتر از نتایج این تحقیق است. افزایش ضخامت Ashton & Berlyn (1994) در سه گونهٔ بلوط (*Q. velutina*, *Q. rubra*, *Q. coccinea*) در *Olea europaea* Bacelar *et al.* (2003) گزارش کرده‌اند. آنها علت این افزایش را ایجاد مانع برای محافظت بافت داخلی برگ گیاه بیان کرده‌اند. Kulkarni *et al.* (2010) نیز بر افزایش ضخامت اپیدرم پهنک و رابطهٔ منفی آن با مقدار از دست دادن آب اشاره دارند. اپیدرم ضخیم در مقایسه با اپیدرم نازک‌تر، آب کمتری از دست می‌دهد.

از ویژگی‌های گونه‌های مناطق خشک، نسبت بیشتر پارانشیم نرdbانی به پارانشیم اسفنجی است (Fahn, 1990). برگ گونه‌های خشکی دوست با تغییراتی مانند توسعه مزوفیل نرdbانی سبب، افزایش این نسبت می‌شود. Shields (1950) دلیل توسعه بافت نرdbانی را شدت نور خورشید و کند کردن جریان آب می‌داند. Fahn (1990) افزایش شدت فعالیت فتوسنتزی را در دوره‌های مطلوب از لحاظ وجود آب در دسترس، دلیل توسعه این بافت ذکر می‌کند و این توسعه را سبب افزایش عملکرد فتوسنتز و کاهش هدر رفتن آب می‌داند.

در میان پژوهش‌های انجام‌گرفته، تحقیقی که تأثیر عوامل محیطی بر مشخصات رگبرگ اصلی را بررسی کرده باشد، به‌دست نیامد. از آنجا که در این تحقیق، مشخصات رگبرگ اصلی، دارای روابط همبستگی معنی‌دار با آلودگی و اقلیم پیشنهاد می‌شود. بررسی ارتباطات مشخصه آلودگی و اقلیم با خصوصیات ساختاری و عملکردی گیاه نشان از وجود پتانسیل معنادار برای مقاومت و سازگاری با تنش‌های محیطی آلودگی و اقلیم دارد. با توجه به نتایج این تحقیق، تعدادی از شاخص‌های آناتومی برگ درخت زبان‌گنجشک

- Heber, U., W. Kaiser, M. Luwe, G. Kindermann, S. Veljovic-Javonovic, Z. Yin, H. Pfanz, S. Slovik, 1995. Air pollution, photosynthesis and forest decline: interactions and consequences. In: Schulze, E.D. & M.M. Caldwell, (Eds.), *Ecophysiology of Photosynthesis*, Springer-Verlag, Berlin, 279-296.
- Honour, S. L., J.N.B. Bell, T.W. Ashenden, J.N. Cape & S.A. Power, 2009. Responses of herbaceous plants to urban air pollution: Effects on growth, phonology and leaf surface characteristics, *Environmental Pollution*, 157: 1279-1286.
- Ilkun, G.M., 1971. *Gazousto chivost' rastenij*, Naukova dumka, Kijev, 240 pp.
- Ilkun, G.M., 1978. *Zagriazniteli atmosfery i rastenija*, Naukova dumka, Kijev, 246 pp.
- Iqbal, M. Z., 1985. Cuticular and anatomical studies of white clover leaves from clean and air polluted areas, *Pollution Research*, 4:59-61.
- Jahan S. & M.Z. Iqbal, 1992. Morphological and anatomical studies of leaves of different plants affected by motor vehicles exhaust, *Journal of Islamic Academy of Sciences*, 5(1): 21-23.
- Kardel, F., K. Wuyts, M. Babanezhad, U.W.A. Vitharana, T. Wuytack, G. Potters & R. Samson, 2010. Assessing urban habitat quality based on specific leaf area and stomatal characteristics of *Plantago lanceolata* L, *Environmental Pollution*, 158: 788 -794.
- Kulkarni, M., B. Schneider, E. Raveh, & N. Tel-Zur, 2010. Leaf anatomical characteristics and physiological responses to short-term drought in *Ziziphus mauritiana* (Lamk.), *Scientia Horticulturae*, 124: 316-322.
- Mudd, J.B. & T.T. Kozlowski, 1975. Responses of plants to air pollution, Academic Press, INC, NY, 546 pp.
- Niinemets, U., 1999. Components of leaf dry mass per area –thickness and density– alter leaf photosynthetic capacity in reverse directions in woody plants, *New Phytologist*, 144: 35-47.
- Nikolaevski, V.S., 1963. O pokazateliakh gazousto chivosti drevesnykh rasteni, INTA Biologii UFAN, Vyp. 31, Svredlovsk, 74 pp.
- Reich, P.B., 1987. Quantifying plant response to ozone: a unifying theory, *Tree Physiology*, 3: 63-92.
- Reig-Armiñana, J., V. Calatayud, J. Cervero', F.J. Garcia-Breijo, A. Ibars & M.J. Sanz, 2004. Effects of ozone on the foliar histology of the mastic plant (*Pistacia lentiscus* L.), *Environmental Pollution*, 132: 321-331.
- EPA/600/P-93/004bF. U.S. Environmental Protection Agency, Office of Research and Development, Research Triangle Park, North Carolina, 185 pp.
- Ashton, M.S. & G.P. Berlyn, 1994. A comparison of leaf physiology and anatomy of *Quercus* (section Erythrobalanus) species in different light environment, *American Journal of Botany*, 81: 589-597.
- Bacelar, E.A., C.M. Correia, J. M. Mount inho-Pereira, B.C. Goncalves, J.I. Lopes & J.M.G. Torres-Pereira, 2003. Sclerophyll and leaf anatomical traits of five field grown olive cultivars growing under drought conditions, *Tree Physiology*, 24: 233-239.
- Bolea, V. & D. Chira, 2001. Resistance of chestnut (*Castanea sativa* Mill.) to SO₂ in comparison with other tree species, *Journal Forest Snow and Landscape Research*, 76(3): 420-424.
- Dann, M.S. & E.J. Pell, 1989. Decline of activity and quantity of ribulose isphosphate carboxylase/oxygenase and net photosynthesis In ozone-treated potato foliage, *Plant Physiology*, 91:427-432.
- Dineva S.B., 2004. Comparative studies of the leaf morphology and structure of white ash *Fraxinus americana* L. and London plane tree *Platanus acerifolia* Willd. growing in polluted area, *Dendrobiology*, 52: 3-8.
- Evans, L.S. & I.P. Ting, 1974. Ozone sensitivity of leaves: relationship to leaf water content, gas transfer resistance and anatomical characteristics, *American Journal of Botany*, 61: 592-597.
- Fahn, A., 1990. Plant anatomy, 4rd edn. Pergamon Press, Oxford, 588 pp.
- Ferdinand, J.A., T.S. Fredericksen, K.B. Kouterick & J.M. Skelly, 2000. Leaf morphology and ozone sensitivity of two open pollinated genotypes of black cherry (*Prunus serotina*) seedlings, *Environmental Pollution*, 108 (2): 297-302.
- Gerosa, G., R. Marzuolib, F. Bussottic, M. Pancrazic & A.B. Dentid, 2003. Ozone Sensitivity of *Fagus sylvatica* and *Fraxinus excelsior* young trees in relation to leaf structure and foliar ozone uptake, *Environmental Pollution*, 125: 91-98.
- Gratani, L., M.F. Crescente & M. Petrucci, 2000. Relationship between leaf life-span and photosynthetic activity of *Quercus ilex* in polluted urban areas (Rome), *Environmental Pollution*, 110: 19-28.
- Heath, R.L., 1980. Initial events in injury to plants by air pollutants, *Annual Review of Plant Physiology*, 31: 395-431.

Savu, G. & V. Bolea, 1977. Forest ecosystem conservation in Baia Mar polluted zone, *Maramures Nature Protection* (in Romanian), 78: 61-73.

Shields, L. M., 1950. Leaf Xeromorphy as related to physiological and structural influents, *Botany Review*, 16: 399-447.

Silva , L.C., A.A. Azevedo, E. A. M. Silva, & M. A. Oliva., 2005. Effects of simulated acid rain on the growth and anatomy of five Brazilian tree species, *Australian Journal of Botany*, 53: 789-796.

Treshow, M. & F.K. Anderson, 1989. Effects of sulphur dioxide and heavy metals. In: Treshow, M. & F.K. Anderson, (Eds.), *Plant Stress from Air Pollution*, John Wiley, Chichester, 44-60.

Tripathi, A., D. S. Tripathi & V. Prakash, 1999. Phytomonitoring and NO_x pollution around silver refineries, *Environment International*, 25: 403-410.

Winner, W.E., A.S. Lefohn, I.S. Cotter, C.S. Greitner, J. Nellessen, L.R. McEvoy, Jr., R.L. Olson, C.J. Atkinson & L.D. Moore, 1989. Plant responses to elevational gradients of ozone exposures in Virginia, *Proceedings National Academy of Sciences*, 86: 8828-8832.

Winner, W.E., H.A. Mooney & R.A. Goldstein, 1985. Sulphur Dioxide and Vegetation, Physiology, Ecology and Policy Issues, Stanford University, Stanford, CA. 593 pp.

Zobel, A. & J.E. Nighswander, 1991. Accumulation of phenolic compounds in the necrotic areas of Austria and red pine needles after spraying with sulphuric acid: a possible bioindicator of air pollution, *New Phytologist*, 117: 565- 574.

Response of leaf anatomy in Ash (*Fraxinus rotundifolia* Mill.) to pollutant gases and climatic factors

F. Rashidi^{*1}, A. Jalili², S. Babaie Kafaki³ and Kh. Sagheb Talebi⁴

¹Ph.D student, Department of Forestry, Science and Research Branch, Islamic Azad University, I. R. Iran.

²Prof., Botany Research Division, Research Institute of Forest and Rangelands, I. R. Iran.

³Assistant Prof., Department of Forestry, Science and Research Branch, Islamic Azad University, I. R. Iran.

⁴Associate Prof., Forest Research Division, Research Institute of Forest and Rangelands, I. R. Iran.

(Received: 17 January 2011, Accepted: 15 February 2011)

Abstract

Air pollution is a factor threatening the green areas and vegetation in urban zones. Pollutant gases spreading with different density in urban spaces have destructive effects on vegetation along with climatic and anthropogenic factors. On the other side, green spaces decrease noticeably the effects of pollutant gases on human society due to their ecological function. This study was carried out to find the effects of urban pollutant gases (SO_2 , NO_2 and O_3) and climatic factors (temperature and precipitation) on *Fraxinus rotundifolia* Mill. In Tehran. For this purpose, anatomical characteristics including leaf blade and cuticle thicknesses, epidermis thickness, blade mesophyll thickness, thickness and number of layers of spongy and palisade parenchyma mesophyll, blade vascular bundle thickness, number and thickness of collenchyma and parenchyma of main vein of *Fraxinus rotundifolia* Mill. leaves were studied by using correlation analysis. The results demonstrated an increase in leaf blade thickness, blade mesophyll thickness and palisade parenchyma thickness in response to increase in urban air pollution. Furthermore, the ratio of palisade parenchyma to spongy parenchyma (RP/RS) increased as the temperature rose.

Key words: Pollution, Climate, Leaf anatomy, Ash, Urban green areas.